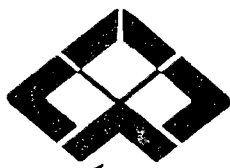




١٠٥١٢٧



دانشگاه شهرکرد

دانشکده فنی و مهندسی

انتقال حرارت در نانو کامپوزیتهای نیمه هادی

پایان نامه کارشناسی ارشد مهندسی مکانیک
گرایش تبدیل انرژی

میثم محمدی

۱۳۸۷ / ۹ / ۲۳

استاد راهنما

دکتو افراصیاب رئیسی

۱۳۸۷

۱۰۲۱۳۴



دانشکده فنی و مهندسی

پایان نامه کارشناسی ارشد مهندسی مکانیک آقای میثم محمدی

تحت عنوان

انتقال حرارت در نانوکامپوزیتهای نیمه‌هادی

در تاریخ ۸۷/۳/۴ توسط کمیته تخصصی زیر مورد بررسی و تصویب نهایی قرار گرفت.

دکتر... افراحته... رضی

۱. استاد راهنمای پایان نامه

دکتر... دلیم... احمدی

۲. استاد مشاور پایان نامه

دکتر... احمد صابر پونجی

۳. استاد داور

دکتر... علی... رحیمی

دکتر... حسن... طهماسب

۴. استاد داور

رئیس تحصیلات تکمیلی دانشکده

کلیه حقوق مادی مترتب بر نتایج مطالعات،
ابتكارات و نوآوریهای ناشی از تحقیق موضوع
این پایان‌نامه متعلق به دانشگاه شهر کرد است.

تقدیم به:

ساحت مقدس حضرت بقیه الله الاعظم (عج)،

همسر عزیزم و

پدر و مادر خوبیم

تشکر و قدردانی

الحمد لله رب العالمين

حمد و سپاس خداوند متعال را که هر چه دارم از اوست، پروردگاری که مرا غرق در دریای نعمت‌های بی کران خویش نمود و پدر و مادری مهربان و دلسوز و همسری عزیز و فداکار به من عطا کرد. خداوند مهربانی که بر من منت نهاد و بزرگترین نعمت را که اسلام عزیز است به من عطا نمود و مرا از دوستداران اهل بیت پیامبر(ص) قرار داد. او را شکر می گوییم که به من توفیق داد تا در فضای پاک جمهوری اسلامی که میراث گرانقدر امام راحل و شهداست، حیات خویش را آغاز کنم. از درگاه با عظمتش تعجیل در فرج آقا امام زمان (عج) و سلامتی و توفیق رهبر معظم انقلاب را خواستارم.

از صمیم قلب متشرکرم :

از پدرخوب و مادر مهربانم که همه‌ی زندگیم را مديون زحمات آنها هستم و برای تحصیل و پیشرفت مادی و معنوی من از هیچ کوششی فروگذار نکردم. از همسر عزیزو فداکارم که در ابتدای زندگی مشکلات تحصیلی مرا صبورانه تحمل کرد و دلسوزانه مشوق و همراه من بود و صمیمانه مرا در تایپ پایان نامه یاری کرد، و از پدر و مادر مهربانش و برادرخوبش طaha جان. همچنین از برادران خوبم، خصوصاً برادر بزرگترم که در بسیاری زمینه‌های علمی و اخلاقی راهنمای من بود.

همچنین متشرکرم :

از استاد دانشگاه شیراز و دانشگاه شهر کرد که در علم آموزی و پیشرفت من تأثیر فراوان داشتند. خصوصاً از استاد عزیز جناب آقای دکتر افراصیاب رئیسی، استاد راهنمای پایان نامه‌ام، که مرا مجدووب اخلاق نیکوی خویش کردند و گنجینه‌ی پر بهای وقت خود را بی دریغ در اختیار من گذاشتند و مرا مديون محبت‌های خویش کردند. از جناب آقای دکتر بهزاد قاسمی که زحمت مشاوره و مطالعه‌ی پایان نامه را بر عهده داشتند و جناب آقای دکتر شاطری که علاوه بر زحمت مطالعه‌ی پایان نامه در برخی از موارد پاسخگوی سؤالات من بودند و همچنین جناب آقای دکتر صابونچی که زحمت مطالعه‌ی پایان نامه را کشیدند.

در پایان از همه‌ی دوستان و اقوام که مرا به نحوی یاری کردند و از همه کسانی که در حقم دعا نمودند- خصوصاً مادر جون- کمال تشکر را دارم.

چکیده

در این تحقیق انتقال حرارت رسانایی دائمی در نانو کامپوزیتهاي نیمه هادی بررسی شده است. این نانو کامپوزیتها از فیلرهای سیلیکونی تشکیل شده اند که در بسترهای از ژرمانیوم قرار دارند. بطور مشخص در این پایان نامه، ضریب هدایت حرارتی مؤثر برای دو حالت از فیلرهای سیلیکونی مدل شده است: ۱- نانو میله های مریعی ۲- نانو ذرات مکعبی.

وقتی که طول مشخصه‌ی ساختار مورد مطالعه با مسیر آزاد میانگین حامل های انرژی هم مرتبه باشد یا زمان مورد نظر در مسئله با زمان آسودگی حاملهای انرژی هم مرتبه باشد، دیگر نمی توان از معادلات معمولی انتقال حرارت استفاده کرد. به همین دلیل در این جا به جای معادله‌ی هدایت حرارتی فوریه، معادله‌ی انتقال تشعشعی فونونها (EPRT) از معادله‌ی انتقال بولتزمن (BTE) بدست آمده و با کدنویسی کامپیوتراً به طور عددی حل شده است.

نتایج بدست آمده نشان می دهد که پروفیل های دما در نانو کامپوزیتها در مقایسه با کامپوزیتهاي معمولی بسیار متفاوت هستند. در این جا به علت اثرات پرتابه ای فونون ها شاهد پرش دما در مرزهای مشترک دو ماده هستیم و این موضوع باعث کم شدن ضریب هدایت حرارتی مؤثر می گردد.

نتایج نشان می دهد که ضریب هدایت حرارتی مؤثر به ابعاد فیلرهای درصد اتمی ژرمانیوم وابسته است. با درصد اتمی ثابت، با کم شدن طول مشخصه‌ی فیلرهای سیلیکونی، ضریب هدایت حرارتی مؤثر کاهش می یابد و با ثابت نگه داشتن طول مشخصه فیلرهای سیلیکونی، هرچه درصد اتمی ژرمانیوم کمتر باشد، ضریب هدایت حرارتی مؤثر نیز کاهش می یابد. همچنین با ثابت بودن طول مشخصه سیلیکون و درصد اتمی ژرمانیوم، نانو کامپوزیتهاي ذره ای دارای ضریب هدایت حرارتی کمتری نسبت به نانو کامپوزیت های میله ای هستند.

لازم به ذکر است که کاهش ضریب هدایت حرارتی، راهی مؤثر برای بهبود مواد ترمومکتریک می باشد.

فهرست مطالب

<u>صفحه</u>	<u>عنوان</u>
شش	فهرست مطالب
۱	چکیده فارسی
فصل اول: مقدمه	
۲	۱-۱- نانو کامپوزیت‌ها
۳	۱-۲- انگیزه و موضوع پایان نامه
۵	۱-۳- پیشینه‌ی تحقیق و بررسی منابع
فصل دوم: انتقال حرارت در مقیاس نانو	
۹	۲-۱- ارتعاشات بلورها و فونون‌ها
۱۰	۲-۱-۱- انتشار امواج در بلورها
۱۴	۲-۱-۲- فونون‌ها
۲۰	۲-۱-۳- پراکندگی فونون‌ها
۲۳	۲-۲- تئوری‌های انتقال ذره
۲۴	۲-۲-۱- مقیاس‌های طولی و زمانی
۲۶	۲-۲-۲- تئوری جنبشی
۲۸	۲-۲-۳- تئوری انتقال بولتزمون
فصل سوم: معرفی مسئله و فرمول‌بندی	
۳۴	۳-۱-۱- معرفی مسئله در حالت سه بعدی
۳۴	۳-۱-۱-۱- هندسه‌ی مسئله سه بعدی
۳۵	۳-۱-۱-۲- معادلات حاکم و فرضیات مدل‌سازی در حالت سه بعدی
۳۷	۳-۱-۱-۳- معرفی دامنه‌ی حل مسئله سه بعدی
۳۷	۳-۱-۲- شرایط مرزی در حالت سه بعدی
۴۰	۳-۱-۳- میدان دما و مدل سازی ضریب هدایت حرارتی در حالت سه بعدی

۴۱ ۲-۳- معرفی مسئله در حالت دو بعدی
۴۱ ۳- ۱- هندسه‌ی مسئله دو بعدی
۴۲ ۳- ۲-۲- معادلات حاکم و شرایط مرزی در حالت دو بعدی
۴۲ ۳- ۳- میدان دما و ضریب هدایت در حالت دو بعدی

فصل چهارم: روش حل عددی

۴۴ ۴- ۱- بررسی عددی مسئله در حالت سه بعدی
۴۴ ۴- ۱-۱- شبکه بنده و ناحیه بنده دامنه‌ی حل مسئله
۴۸ ۴- ۱-۲- جبری سازی معادلات حاکم
۴۹ ۴- ۳- بررسی عددی شرایط مرزی
۵۲ ۴- ۴- بررسی عددی شرایط در مرز مشترک دو ماده
۵۵ ۴- ۲- الگوریتم حل مسئله در حالت سه بعدی
۵۵ ۴- ۳- بررسی عددی مسئله در حالت دو بعدی

فصل پنجم: ارائه و بررسی نتایج

۵۷ ۵- ۱- مطالعه‌ی شبکه و ارزیابی صحت کد
۵۷ ۵- ۱-۱- مطالعه‌ی شبکه
۵۸ ۵- ۱-۲- ارزیابی صحت کد
۶۰ ۵- ۲- ارائه‌ی نتایج
۶۰ ۵- ۲-۱- مقدمه‌ی ارائه‌ی نتایج
۶۱ ۵- ۲-۲- نتایج دو بعدی
۷۳ ۵- ۲-۳- نتایج حالت سه بعدی
۸۴ ۵- ۳- ضریب هدایت حرارتی مؤثر
۸۸ ۵- ۴- نتیجه گیری کلی
۸۸ ۵- ۵- پیشنهاد برای کارهای آینده
۸۹ پیوست الف

۹۳ مراجع
۹۶ چکیده انگلیسی

فهرست جداول

صفحه	عنوان
۳۷	جدول ۱-۳- خواص مختلفی از ژرمانیوم و سیلیکون
۴۴	جدول ۱-۴- مشخصاتی از شبکه بندی مسئله
۴۷	جدول ۲-۴- مشخص کردن نواحی هشت گانه
۵۲	جدول ۳-۴- ضریب های عبور و انکاس
۵۶	جدول ۴-۴- مشخص کردن نواحی چهار گانه
۵۸	جدول ۱-۵- شبکه بندی دامنه حل در دو حالت
۶۱	جدول ۲-۵- توضیح ساختار هندسی نانو کامپوزیتهایی که نمودارهای آنها رسم شده است
۹۰	جدول الف-۱- انواع مختلف روش انتگرال گیری گاوس
۹۱	جدول الف-۲- گرهای و ضرایب روش‌های ۲ تا ۵ نقطه‌ای گاوس- لزاندر

فهرست اشکال

صفحه	عنوان
۳	شکل ۱-۱- نمونه هایی از مواد کامپوزیت
۱۰	شکل ۱-۲- نمودار انرژی- مسافت برای یک نمونه پیوند شیمیایی
۱۱	شکل ۲-۲- یک آرایش یک بعدی سیستم جرم و فنر
۱۱	شکل ۳-۲- نمایش رابطه‌ی انتشار برای ارتعاشات بلور
۱۴	شکل ۴-۲- کوانتیزاسیون انرژی ارتعاشات در بلور
۱۹	شکل ۵-۲- مقایسه‌ی داده‌های تجربی و پیش‌بینی های تئوری گرمای ویژه‌ی الماس
۲۲	شکل ۶-۲- نمایش برداری پراکندگی از نوع فونون- فونون
۲۶	شکل ۷-۲- نمودار شماتیک نشان دهنده‌ی شار انرژی در عرض یک صفحه‌ی Z، که در تئوری جنبشی مورد استفاده قرار گرفته است
۳۴	شکل ۱-۳- هندسه‌ی مسئله سه بعدی و محورهای مختصات
۳۶	شکل ۲-۳- محورهای مختصات و انتخاب زوایای قطبی و سمت
۳۹	شکل ۳-۳- الف- یک سلول واحد از مسئله سه بعدی
۳۹	شکل ۳-۳- ب- نماهای مختلف از سلول واحد
۴۳	شکل ۴-۳- هندسه و سلول واحد در مسئله دو بعدی
۴۶	شکل ۱-۴- تبیین دیفرانسیل کردن مکانی
۵۱	شکل ۲-۴- یک بازتاب دهنده آینه‌ای
۵۱	شکل ۳-۴- توزیع زاویه‌ای گاوس- لزاندر در دو حالت مختلف
۵۲	شکل ۴-۴- بررسی مرز مشترک دو ماده
۵۴	شکل ۴-۵- قسمتی از کد برنامه نویسی که معادل رابطه (۱۱-۴) است

- شکل ۱-۵-الف- نمودار تغییرات ضریب هدایت حرارتی بر حسب شبکه‌بندی‌های مختلف دامنه‌ی حل
شکل ۱-۵-ب- نمودار تغییرات ضریب هدایت حرارتی بر حسب درصد اتمی ژرمانیوم در نانوکامپوزیت
دوبعدی و مقایسه با نتایج کار انجام شده توسط یانگ و چن [۲]
- شکل ۲-۵-الف- نمودار دما بر حسب λ^* در صفحات z^* ثابت، در نانوکامپوزیت دو بعدی با $L_{Si} = 10\text{nm}$
شکل ۲-۵-ب- نمودار دما بر حسب λ^* در صفحات x^* ثابت، در نانوکامپوزیت دو بعدی با $L_{Si} = 10\text{nm}$
شکل ۲-۵-پ- کانتورهای دما در نانوکامپوزیت دو بعدی با $L_{Si} = 10\text{nm}$
شکل ۲-۵-ت- کانتورهای شارحرارتی بدون بعد (q_x^*) در نانوکامپوزیت دو بعدی با $L_{Si} = 10\text{nm}$
شکل ۳-۵-الف- نمودار دما بر حسب λ^* در صفحات z^* ثابت، در نانوکامپوزیت دوبعدی با $L_{Si} = 270\text{nm}$
شکل ۳-۵-ب- نمودار دما بر حسب λ^* در صفحات x^* ثابت، در نانوکامپوزیت دو بعدی با $L_{Si} = 270\text{nm}$
شکل ۳-۵-پ- کانتورهای دما در نانوکامپوزیت دو بعدی با $L_{Si} = 270\text{nm}$
شکل ۳-۵-ت- کانتورهای شارحرارتی (q_x^*) در نانوکامپوزیت دو بعدی با $L_{Si} = 270\text{nm}$
شکل ۴-۵-الف- نمودار دما بر حسب λ^* در صفحات y^* ثابت، در نانوکامپوزیت دوبعدی با $L_{Si} = 837\text{nm}$
شکل ۴-۵-ب- نمودار دما بر حسب λ^* در صفحات x^* ثابت، در نانوکامپوزیت دو بعدی با $L_{Si} = 837\text{nm}$
شکل ۴-۵-پ- کانتورهای دما در نانوکامپوزیت دو بعدی با $L_{Si} = 837\text{nm}$
شکل ۴-۵-ت- کانتورهای شارحرارتی (q_x^*) در نانوکامپوزیت دو بعدی با $L_{Si} = 837\text{nm}$
شکل ۵-۵-الف- نمودار دما بر حسب λ^* در صفحات z^* ثابت، در نانوکامپوزیت دوبعدی با $L_{Si} = 2625\text{nm}$
شکل ۵-۵-ب- نمودار دما بر حسب λ^* در صفحات x^* ثابت، در نانوکامپوزیت دو بعدی با $L_{Si} = 2625\text{nm}$
شکل ۵-۵-پ- کانتورهای دما در نانوکامپوزیت دو بعدی با $L_{Si} = 2625\text{nm}$
شکل ۵-۵-ت- کانتورهای شارحرارتی (q_x^*) در نانوکامپوزیت دو بعدی با $L_{Si} = 2625\text{nm}$
شکل ۶-۵-الف- نمودار دمای میانگین بر حسب x^* در نانوکامپوزیتهای دوبعدی با $L_{Si} = 10, 270\text{ nm}$
شکل ۶-۵-ب- نمودار دمای میانگین بر حسب x^* در نانوکامپوزیت سه بعدی با $L_{Si} = 837, 2625\text{ nm}$
شکل ۶-۵-پ- بردارهای شارحرارتی در نانوکامپوزیت دوبعدی با $L_{Si} = 10\text{nm}$
شکل ۶-۵-ت- بردارهای شارحرارتی در نانوکامپوزیت دوبعدی با $L_{Si} = 837\text{nm}$
شکل ۷-۵-الف- نمودار دما بر حسب x^* در نانوکامپوزیت سه بعدی با $L_{Si} = 10.5\text{ nm}$
شکل ۷-۵-ب- کانتورهای (q_x^*) در نانوکامپوزیت سه بعدی با $L_{Si} = 10.5\text{nm}$ ، در صفحه‌ی ۰.۵
شکل ۸-۵-الف- کانتورهای دما در نانوکامپوزیت سه بعدی با $L_{Si} = 10.5\text{nm}$ ، در صفحه‌ی ۰.۵
شکل ۸-۵-ب- کانتورهای دما در نانوکامپوزیت سه بعدی با $L_{Si} = 10.5\text{nm}$ ، در صفحه‌ی ۰.۷۵
شکل ۸-۵-پ- کانتورهای دما در نانوکامپوزیت سه بعدی با $L_{Si} = 10.5\text{nm}$ ، در صفحه‌ی ۰.۹۱
شکل ۹-۵-الف- کانتورهای دما در نانوکامپوزیت سه بعدی با $L_{Si} = 10.5\text{nm}$ ، در صفحه‌ی ۰.۵
شکل ۹-۵-ب- کانتورهای دما در نانوکامپوزیت سه بعدی با $L_{Si} = 10.5\text{nm}$ ، در صفحه‌ی ۰.۷۵
شکل ۹-۵-پ- کانتورهای دما در نانوکامپوزیت سه بعدی با $L_{Si} = 10.5\text{nm}$ ، در صفحه‌ی ۰.۹۱
شکل ۱۰-۵-الف- نمودار دما بر حسب x^* در نانوکامپوزیت سه بعدی با $L_{Si} = 280\text{ nm}$
شکل ۱۱-۵-الف- نمودار دما بر حسب x^* در نانوکامپوزیت سه بعدی با $L_{Si} = 831\text{ nm}$
شکل ۱۱-۵-ب- کانتورهای (q_x^*) در نانوکامپوزیت سه بعدی با $L_{Si} = 831\text{nm}$ ، در صفحه‌ی ۰.۵
شکل ۱۲-۵-الف- کانتورهای دما در نانوکامپوزیت سه بعدی با $L_{Si} = 831\text{nm}$ ، در صفحه‌ی ۰.۵
شکل ۱۲-۵-ب- کانتورهای دما در نانوکامپوزیت سه بعدی با $L_{Si} = 831\text{nm}$ ، در صفحه‌ی ۰.۷۵

- شکل ۱۲-۵-پ- کانتورهای دما در نانوکامپوزیت سه بعدی با $L_{Si} = 831\text{nm}$ ، در صفحه‌ی $z^* = 0.91$
 شکل ۱۳-۵-الف- کانتورهای دما در نانوکامپوزیت سه بعدی با $L_{Si} = 831\text{nm}$ ، در صفحه‌ی $y^* = 0.5$
 شکل ۱۳-۵-ب- کانتورهای دما در نانوکامپوزیت سه بعدی با $L_{Si} = 831\text{nm}$ ، در صفحه‌ی $y^* = 0.75$
 شکل ۱۳-۵-پ- کانتورهای دما در نانوکامپوزیت سه بعدی با $L_{Si} = 831\text{nm}$ ، در صفحه‌ی $x^* = 0.91$
 شکل ۱۴-۵-الف- کانتورهای دما در نانوکامپوزیت سه بعدی با $L_{Si} = 831\text{nm}$ ، در صفحه‌ی $x^* = 0.5$
 شکل ۱۴-۵-ب- کانتورهای دما در نانوکامپوزیت سه بعدی با $L_{Si} = 831\text{nm}$ ، در صفحه‌ی $x^* = 0.75$
 شکل ۱۴-۵-پ- کانتورهای دما در نانوکامپوزیت سه بعدی با $L_{Si} = 831\text{nm}$ ، در صفحه‌ی $x^* = 0.91$
 شکل ۱۵-۵-نمودار دمای میانگین بر حسب x^* ، در نانوکامپوزیتهای سه بعدی

$$L_{Si} = 10.5, 280, 831 \text{ nm}$$
- شکل ۱۶-۵- مقایسه‌ی نمودارهای ضریب هدایت حرارتی مؤثر بر حسب درصد اتمی ژرمانیوم با L_{Si} ثابت
 شکل ۱۷-۵- مقایسه‌ی نمودارهای ضریب هدایت حرارتی مؤثر بر حسب L_{Si} با درصد اتمی تقریباً ثابت ژرمانیوم
 شکل ۱۸-۵- مقایسه‌ی بین روش انجام شده در این پایان نامه ($EPRT$) و روش (MC) مونت-کارلو [۱۲]
 با بررسی نمودارهای ضریب هدایت حرارتی مؤثر
 شکل ۱۹-۵- نمودار ضریب هدایت حرارتی مؤثر بر حسب چگالی سطح مشترک، برای نانوکامپوزیت‌های
 دو و سه بعدی
 شکل ۲۰-۵- آرایش جابجاشده برای ماده‌ی پرکن در نانوکامپوزیت
 شکل الف-۱- زیر روال نوشته شده برای بدست آوردن گره‌ها و ضرایب روش گاووس-لزاندر

فهرست علائم و نمادها

تابع توزیع حالت	f
زمان آسودگی	τ_r
سرعت گروهی فونونها	v
شدت فونون (کلی)	I
شدت فونونی که در جهت مثبت محورهاست	I^{+++}
شدت فونون تعادلی	I_0
بسامد فونون	ω
زاویه‌ی قطبی	θ
زاویه‌ی سمت	ϕ
زاویه‌ی فضایی	Ω
مسیر آزاد میانگین حاملهای حرارت	Λ
چگالی حالات (m^{-3})	D
ثابت پلانک	h
ثابت پلانک بخش بر 2π	\hbar
ضریب هدایت حرارتی (W/mK)	k

(J/K)	ثابت بولتزمن	k_B
λ	طول موج حامل حرارت	
T_{12}	ضریب عبور از محیط ۱ به ۲	
R_{12}	ضریب انعکاس از محیط ۱ به ۲	
Q	نرخ انتقال حرارت (W)	
q	شار حرارتی (W/m^2)	
\bar{T}	دماهی میانگین	
L_{Ge}	اندازهی ضلع مریع یا مکعب ژرمانیوم در سلول واحد	
L_{Si}	اندازهی ضلع مریع یا مکعب سیلیکون در سلول واحد	
L_z	طول نانومیله‌ی سیلیکون در نانوکامپوزیت دو بعدی	
w'_m	تابع وزن انتگرال‌گیری در جهت θ	
w_n	تابع وزن انتگرال‌گیری در جهت ϕ	
α	ضریب رهایی	
(x^*, y^*, z^*)	مختصات بدون بعد	
q^*	شار حرارتی بدون بعد	
z_1^*, y_1^*, x_1^*	مختصات بدون بعد اولین مرز مشترک در جهت x , y یا z	
z_2^*, y_2^*, x_2^*	مختصات بدون بعد دومین مرز مشترک در جهت x , y یا z	

فصل اول

مقدمه

امروزه فناوری نانو به عنوان یکی از شاخه های پیشرو علم در عرصه تحقیق و پژوهش مطرح می باشد و بررسی مسائل و پدیده ها در ابعاد خیلی کوچک و زمانهای بسیار کوتاه مورد علاقه ی بسیاری از رشته های علمی است. یکی از مباحثی که در این زمینه مطرح می باشد، بررسی پدیده انتقال انرژی در مقیاسهای خیلی کوچک^۱ است و از این منظر، این بررسی ها متناسب با گرایش تبدیل انرژی و مباحث انتقال حرارت است. در این پایان نامه انتقال حرارت در نانو کامپوزیت های نیمه هادی مورد بررسی قرار می گیرد.

۱-۱ نانو کامپوزیت ها

وقتی که دو یا چند ماده که از لحاظ خواص فیزیکی و شیمیایی با یکدیگر متفاوت هستند، به نحوی مخلوط شوند که سطح مشترک بین آنها مشخص باشد و ماده ای مرکب حاصل نیز دارای خواص متفاوتی باشد، یک ماده ای کامپوزیت ایجاد می گردد. هدف از این کار بهبود خاصیتی از ماده از قبیل خواص مکانیکی، الکتریکی، ترموفیزیکی و... می باشد.

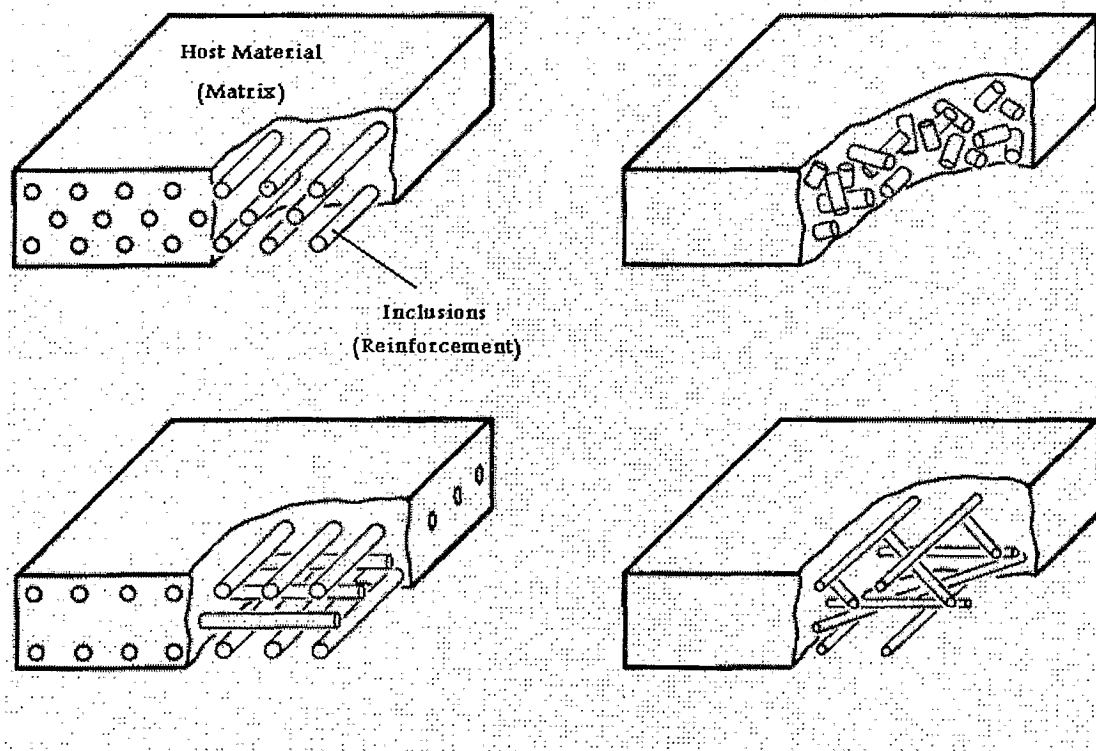
بسیاری از کامپوزیتها از دو ماده تشکیل شده اند که ماده ای اصلی را ماده ای میزبان^۲ و دیگری را پر کن^۳ یا تقویت کن^۴ می گویند. نمونه ای از کامپوزیتها در شکل (۱-۱) مشاهده می شوند. وقتی یک نانو کامپوزیت خواهیم داشت که حداقل یکی از ابعاد ماده ای پر کن از چند ده نانومتر تجاوز نکند.

¹ Microscale energy transport

² Host material

³ Filler

⁴ Reinforcement



شکل (۱-۱) نمونه هایی از مواد کامپوزیت

۲-۱ انگیزه و موضوع پایان نامه

یکی از مصارف نانوکامپوزیتها بهبود خواص نیمه هادیها^۱ و مواد ترمومالکتریک^۲ است و علاقه‌ی ما به بررسی رسانایی حرارتی نانوکامپوزیتها به دلیل کاربردهای بالقوه‌ی آنها در مواد ترمومالکتریک پر بازده است. عدد بدون بعد مریت^۳ معرف بازدهی و چگالی انرژی مواد ترمومالکتریک است و به صورت زیر تعریف می‌گردد:

$$ZT = S^2 \sigma T / k \quad (1-1)$$

¹ Semiconductors

² Thermoelectric materials

³ Dimensionless figure of merit

که در این رابطه S ضریب سیبیک^۱، k ضریب رسانایی حرارتی و σ ضریب رسانایی الکتریکی است. علیرغم همهٔ تلاش‌های صورت گرفته مقادیر بزرگ ZT در دمای اتاق حدود یک است و این در حالی است که اگر بتوانیم این مقدار را به عدد سه و یا بزرگتر از آن برسانیم، خنک کنهای حالت جامد یا خنک کنهای پلتیر^۲، از نظر اقتصادی قابل رقابت با خنک کنهای کمپرسور دار خواهد شد [۱].

خوشبختانه پیشرفت‌های مهمی در زمینهٔ افزایش ZT بر پایهٔ مهندسی انتقال الکترون و فونون صورت گرفته است. با استفاده از نانوکامپوزیتها می‌توان با ثابت نگه داشتن عملکرد انتقال الکترون و با کم کردن رسانایی حرارتی به اعداد مریت بالا دست یافت [۲].

انتقال حرارت رسانایی در جامدات توسط الکترون^۳ و فونون^۴ که حاملهای انرژی هستند، صورت می‌پذیرد. فونون، کوانتم انرژی ارتعاشات شبکه ای ماده‌ی جامد است و انتقال حرارت در نیمه هادیها عمده‌تاً توسط فونونها صورت می‌پذیرد. وقتی که ابعاد و مقیاسهای مورد نظر ماکروسکوپیک باشد، ضریب رسانایی حرارتی با استفاده از تئوری جنبشی گازها از رابطه $\frac{1}{3} C_V \Lambda = k$ بدست می‌آید، که در این رابطه C ضریب گرمای ویژهٔ حجمی و Λ سرعت گروهی فونونها و Λ مسیر آزاد میانگین فونونها است. اما هنگامی که طول مشخصه، هم مرتبه با Λ یا از آن کوچکتر باشد، به علت طبیعت پرتابه‌ای فونونها، این رابطه اعتبار خود را از دست می‌دهد و قانون فوریه هم دیگر معتبر نخواهد بود.

برای مثال مسیر آزاد میانگین برای سیلیکون در دمای اتاق در حدود $250-300$ نانومتر می‌باشد و در صورتی که طول مشخصه‌ی مسئلهٔ مورد نظر از این مقادیر کمتر باشد، دیگر شرایط کاملاً متفاوت از بررسیهای ماکروسکوپیک خواهد بود. عدم برقراری قانون فوریه در ضریب رسانایی نانوساختارها منعکس می‌گردد. به بیان دقیق‌تر وقتی یک گرadiان دمای موضعی داشته باشیم که قانون فوریه برای آن قبل استفاده نباشد، مفهوم ضریب رسانایی حرارتی بی معنی خواهد بود، [۳] اما به هر حال این ضریب هنوز پارامتر مناسبی است و برای اندازه گیری اثرات اندازه^۵ در نانوساختارها بکار می‌رود. پس ضریب رسانایی حرارتی دیگر یک خاصیت ذاتی نخواهد بود، بلکه یک خاصیت سازه‌ای^۶ می‌باشد و می‌تواند به چگونگی اعمال منبع حرارتی بستگی داشته باشد. به همین دلیل صحبت از مدل کردن ضریب رسانایی حرارتی به میان می‌آید.

در این پایان نامه به مدل کردن ضریب رسانایی حرارتی مؤثر در نانوکامپوزیتها نیمه هادی خواهیم پرداخت. این نانوکامپوزیتها از پرکن‌های سیلیکونی که بطور منظم در بستری از ژرمانیوم قرار دارند، تشکیل شده‌اند. به طور مشخص به بررسی و مقایسه‌ی دو حالت خواهیم پرداخت. در حالت اول یک نانوکامپوزیت دو بعدی داریم که پرکن‌های سیلیکونی به صورت نانومیله‌هایی با مقطع مریع در بستری از ژرمانیوم قرار دارند و در حالت دیگر یک نانوکامپوزیت سه بعدی داریم که در آن ذرات مکعبی سیلیکون به طور منظم در

¹ Seebeck coefficient

² Peltier

³ Electrons

⁴ Phonons

⁵ Size effects

⁶ Structural property

بستری از ژرمانیوم قراردارند و به آن نانو کامپوزیت ذرهای^۱ می‌گوییم. فرض این است که حرارت تنها در یک جهت جریان خواهد داشت و اهداف پایان نامه به شرح زیر است:

۱. بررسی انتقال حرارت در نانو کامپوزیتها
۲. بررسی مقدار کمی ضریب هدایت حرارتی در نانو کامپوزیتها
۳. بررسی اثرات اندازه^۲، بر روی ضریب هدایت حرارتی مؤثر

۳-۱ پیشینهٔ تحقیق و بررسی منابع:

در این بخش تحقیقاتی که تا کنون بر روی موضوع انتقال حرارت در مقیاس‌های کوچک و مسائل مرتبط با آن و بویژه در مورد نانو کامپوزیتها انجام گرفته بطور خلاصه مرور می‌شود.

هولند^۳ [۴]، در سال ۱۹۶۴ با استفاده از مطالعه‌ی ضریب هدایت حرارتی پراکنده شدن^۴ فونون‌ها را در نیمه‌هادی‌ها بررسی کرده است. وی برای مطالعه‌ی پراکنده شدن فونون‌ها، ضریب هدایت حرارتی شبکه تعدادی از نیمه‌هادی‌ها را در محدوده‌ی دمایی ۱/۷ تا ۳۰۰ کلوین مورد بررسی قرار داده است. در این مقاله ابتدا ضریب هدایت حرارتی چند نوع نیمه‌هادی با استفاده از روش‌های تجربی بدست آمده است و سپس مقادیر بدست آمده با استفاده از تئوری کالاوهی^۵ تجزیه و تحلیل شده است. تئوری کالاوهی رابطه‌ای بدست می‌دهد که ارتباط بین ضریب هدایت حرارتی و زمان آسودگی را برقرار می‌کند، که زمان آسودگی به مکانیزم‌های پراکنده شدن فونون‌ها بستگی دارد.

رن^۶ و داو^۷ [۵]، در سال ۱۹۸۲ ضریب هدایت حرارتی ابرشبکه‌ها را بررسی کرده‌اند. ابرشبکه‌ها شامل لایه‌های بسیار نازک متناوب می‌باشند که اغلب برای اصلاح ابزار‌آلات مرسوم و گسترش ابزارهای جدید مورد استفاده قرار می‌گیرند. آنها برای مدل کردن ضریب هدایت حرارتی از ترکیب روش معادله‌ی انتقال بولتزمن که توسط کالاوهی ارائه شده است با یک رفتار مکانیک کوانتومی برای نرخ پراکنده شدن فونون‌ها استفاده کرده و به این نتیجه رسیده‌اند که ضریب هدایت حرارتی ابرشبکه‌ها کمتر از مقدار متناظرشان برای توده‌ی ماده است و کاهش ضریب هدایت حرارتی برای نمونه‌های با تعداد لایه‌های متناوب کم، بسیار قابل ملاحظه است.

پل^۸ و استریتزکر^۹ [۶]، در سال ۱۹۸۲ پراکنده شدن فونون‌ها بر روی سطوح بلورها را مورد مطالعه قرار داده‌اند. در این تحقیق با اندازه گیری‌هایی که بر روی ضریب هدایت حرارتی بلورهای عایق در دماهای خیلی کم (۲-۰۰۶ K) انجام شده است، علت پراکنده‌گی پخشی^{۱۰} فونون‌ها بوسیله‌ی سطوح بلورها بررسی شده

^۱ Nanoparticle composite

^۲ Size effects

^۳ Holland

^۴ Scattering

^۵ Callaway-

^۶ Ren

^۷ Dow

^۸ Pohl

^۹ Stritzker

^{۱۰} Diffusive

است. این تحقیق بطور وسیع تری پراکنده شدن فونون‌ها بوسیلهٔ عیوب در نزدیکی سطوح بلورها را بررسی کرده است و موضوعات بیشتری از اثرات عیوب شبکه‌ای در داخل بلورها تا نزدیکی سطح ویا روی سطح بر روی ضریب هدایت حرارتی ارائه کرده است و نشان داده شده که عیوب سطحی خیلی شدیدتر از عیوب حجمی فونون‌ها را پراکنده می‌سازند.

تام^۱ و همکارانش^[۷]، در سال ۱۹۸۸ پراکنده شدن سطحی و انتقال حرارت تشعشعی فونون‌ها را بررسی کرده‌اند. آنها بلورهایی را مورد مطالعه قرار داده‌اند که سطحشان از کیفیت آینه‌ای بالایی برخوردار بوده بطوری که احتمال پراکنده شدن فونون‌ها به صورت پخشی، مقدار کمی بوده است. ابتدا نتایج مربوط به ضریب هدایت حرارتی تک بلورهای صیقلی شده ارائه شده است و سپس این نتایج با استفاده از تشعشع فونون جسم سیاه تجزیه و تحلیل شده است. هدف کلی در این تحقیق در ک صیح انتقال حرارت در این بلورهای صیقلی شده و بدست آوردن احتمال پراکنده شدن پخشی با استفاده از مقدار اندازه‌گیری شده‌ی ضریب هدایت حرارتی بوده است. همچنین نشان داده شده است که اندازه‌گیری ضریب هدایت حرارتی می‌تواند به عنوان یک ابزار دقیق برای مطالعهٔ عیوب وجذب سطحی در محدودهٔ دمایی ۰/۰۵ تا ۱ کلوین که مربوط به محدودهٔ فرکانس GHZ ۱۰۰-۵-۵ برای فونون‌هاست، مورد استفاده قرار گیرد.

جوشی^۲ و ماجامدر^۳ [۸]، در سال ۱۹۹۳ انتقال حرارت گذرای پرتابه‌ای و پخشی فونون‌ها را در لایه‌های نازک مطالعه کرده‌اند. انتقال حرارت به صورت پخشی و پرتابه‌ای^۴ در مقیاس‌های کوچک طولی و زمانی در وسائل قطع و وصل سریع الکترونیکی و فرآیندهایی که توسط پالس‌های لیزر بر روی مواد انجام می‌گیرد از اهمیت زیادی برخوردار است. و با توجه به اینکه قانون فوريه که سرعت نامحدودی برای امواج حرارتی بdest می‌دهد فقط انتقال پخشی خالص را در بر می‌گیرد و معادلهٔ هذلولوی حرارت هم اگرچه برای موج حرارت یک سرعت محدودی را شامل می‌شود اما در ابعاد کوچک نمی‌تواند انتقال پرتابه‌ای خالص را توصیف کند. بنا براین در این مقاله نیز معادلهٔ انتقال تشعشع فونون که رفتار صیحی برای حالات حدی انتقال پخشی و پرتابه‌ای خالص از خود نشان می‌دهد، مورد توجه قرار گرفته است. در این تحقیق انتقال حرارت گذرای نازک الماس با ضخامت‌های متفاوت در دمای اولیهٔ ۳۰۰ K با استفاده از قانون فوريه، معادلهٔ هذلولوی حرارت و معادلهٔ انتقال تشعشعی فونون برای حالتی که دمای یک مرز به طور ناگهانی به اندازهٔ $\Delta T = ۰/۱$ افزایش یابد، بررسی شده است. و نتایج مربوط به قانون فوريه، معادلهٔ هذلولوی حرارت و معادلهٔ انتقال تشعشعی فونون با هم مقایسه شده‌اند.

چن^۵ [۹]، در سال ۱۹۹۷ اثرات اندازه و سطح مشترک بر روی هدایت حرارتی ابرشبکه‌ها و ساختارهایی با لایه‌های نازک متناسب را در جهت موازی با لایه‌ها بررسی کرده است. سطح مشترک در این سازه‌ها خواص فیزیکی را تحت تأثیر قرار می‌دهند. در این مقاله شرایط مختلف برای سطح مشترک از نظر انعکاس و پراکنده‌گی فونون‌ها شامل سطوح آینه‌ای، سطوح پخشی و سطوح آینه‌ای و پخشی توأم در نظر گرفته شده

¹ Tom

² Joshi

³ Majumdar

⁴ Ballistic

⁵ Chen

است و بر اساس معادله انتقال بولتزمن مدل‌هایی برای ضریب هدایت حرارتی مؤثر صفحه‌های نازک متناوب ارائه شده است. نتایج تجربی روی مواد مختلف نشان می‌دهد که ضریب هدایت حرارتی لایه‌های نازک کمتر از مقدار متناظر شان برای توده‌ی ماده می‌باشد. علت این کاهش به ساختمان میکروسکوپی لایه‌های نازک و توده‌ی ماده و اثرات مرز وسطوح مشترک پر می‌گردد. معادله‌ی انتقال بولتزمن اغلب نقطه‌ی شروعی برای شبیه سازی هدایت حرارتی لایه‌های نازک است و همین روش بطور گسترده‌ای برای شبیه سازی اثرات اندازه بر روی هدایت الکتریکی لایه‌های نازک نیز اعمال می‌شود. نتایج این مقاله برای انعکاس آینه‌ای و پخشی توأم مطابقت خوبی با ضریب هدایت حرارتی اندازه‌گیری شده برای GaAs/AlAs دارند. و همچنین نشان داده شده است سطح مشترک بسته به مکانیزم پراکندگی در آن، به صورت متفاوتی میتواند ضریب هدایت حرارتی را تحت تأثیر قرار دهد. بطوری که سطح مشترک آینه‌ای اثر زیادی بر روی ضریب هدایت حرارتی ندارد، در حالیکه سطح مشترک پخشی ضریب هدایت حرارتی را بطور قابل ملاحظه‌ای کاهش می‌دهد. همچنین نتایج این تحقیق نشان می‌دهد که زیری سطح مشترک که در اندازه‌های اتمی قرار دارند علت اصلی کاهش قابل ملاحظه‌ی ضریب هدایت حرارتی که در نتایج تجربی دیده می‌شود، می‌باشد.

رئیسی و رستمی [۱۰]، در سال ۲۰۰۲ انتقال حرارت غیر دائمی را در یک ابر شبکه شامل لایه‌های متناوب EPRT^۱ استفاده کرده و با روش عددی GaAs/AlAs در جهت عرضی بررسی کردند. آنها از معادله‌ی EPRT به حل مسئله پرداخته‌اند و توزیع دمای گذرا و میزان انتقال حرارت را در عرض لایه‌ها ارائه کرده‌اند. یانگ^۲ و چن [۲]، در سال ۲۰۰۴ ضریب رسانایی حرارتی مؤثر را در یک نانو کامپوزیت دو بعدی متناوب مدل کرده‌اند. این نانو کامپوزیت شامل نانو سیمه‌ای سیلیکونی با مقطع مریعی است که در بستری از ژرمانیوم قرار دارند. آنها از حل عددی معادله‌های BTE^۳ و EPRT^۴ استفاده کردند. در این مسئله‌ی دو بعدی، فرض شده که حرارت تنها در یک جهت امکان جریان دارد و به همین دلیل از شرط تناوبی در جهت انتقال حرارت بهره برده‌اند. در واقع مقدار ضریب رسانایی حرارتی را در جهت جریان حرارت، که عمود بر محور نانو سیمه‌ای باشد بدست آورده‌اند. آنها وابستگی ضریب رسانایی حرارتی را به سایز نانو سیمه‌ها و کسر حجمی مواد تشکیل دهنده بررسی کرده و نشان دادند که با داشتن کسر حجمی ثابت، هر چه قطر سیمه‌ها کوچکتر باشد، رسانایی حرارتی هم کمتر خواهد بود. در ضمن با ثابت نگه داشتن قطر میله‌های سیلیکون، هر چه درصد اتمی ژرمانیوم کمتر باشد، ضریب هدایت رسانایی نانو کامپوزیت هم کمتر خواهد بود.

در کار دیگری که یانگ و چن در سال ۲۰۰۵ با کمک درسلهاؤس^۴ انجام دادند [۱۱]، ضریب رسانایی حرارتی طولی را در یک نانو کامپوزیت شامل نانو میله‌های دایره‌ای سیلیکون در بستری از ژرمانیوم بدست آورده‌اند. نانو میله‌های سیلیکون می‌توانند تو خالی هم باشند و بدین ترتیب توانسته‌اند در یک حالت با در نظر نگرفتن ضخامتی برای نانو لوله‌های سیلیکونی، مسئله را برای محیط مخلخل ژرمانیوم، نانو پروس، حل

¹ Equation of Phonon Radiative Transfer

² Yang

³ Boltzmann Transport Equation

⁴ Dresselhaus

کنند. آنها نتیجه گرفتند که برای یک کسر حجمی مشخص، هر چه که قطر میله یا روزنه کوچکتر باشد، ضربیب رسانایی حرارتی هم کمتر خواهد بود. و کامپوزیتهايی که نانو میله هاي لوله اي دارند، نسبت به آنهايی که نانو ميله هاي تو پر دارند، داراي رسانایی حرارتی کمتری هستند. دليل اين امر پراكندگي اضافي سطحي در روزنه هاي نانو ميله هاي لوله اي است.

اين دو محقق، نانو کامپوزيت ذره اي را هم با مدلسازی مونت-کارلو^۱ بررسی کرده‌اند. البته با بيان اين موضوع که روش محاسباتی EPRT برای سه بعد مشکل و طولاني است اين کار را به دیگران محول کرده‌اند[۱۲]. در بررسی روشهای مختلف از روش دینامیک مولکولی هم استفاده می‌گردد.

لوکز^۲ و تیین^۳ در سال ۲۰۰۴ از اين روش برای مدلسازی ضربیب رسانایی حرارتی استفاده کرده‌اند[۱۳]. آنها يك فيلم نازك متخلخل ، با روزنه هاي در ابعاد نانو را بررسی کرده اند و نحوه‌ی تأثير گذاري محل روزنه‌ها را در خواص ترموفيزيکي و خصوصاً ضربیب رسانایی حرارتی بررسی کرده‌اند.

در واقع طرحی که ما در اين پایان نامه دنبال کردۀ‌ایم ادامه‌ی کارهایی است که در زمینه مدل کردن ضربیب رسانایی حرارتی صورت گرفته است. بطور ویژه کاري که توسط یانگ و چن [۲]، صورت گرفته است را ادامه خواهیم داد و علاوه بر این که نانو کامپوزیت دو بعدی متنابوب را دوباره مورد مطالعه قرار می‌دهیم، به بررسی نانو کامپوزیت ذره‌ای با استفاده از معادلات BTE و EPRT به روش محاسباتی^۴ خواهیم پرداخت که قبلًا انجام نشده است.

¹ Monte-Carlo simulation

² Lukes

³ Tien

⁴ Deterministic